

В. Г. ГАЛАЛУ

## ПРЕОБРАЗОВАТЕЛИ КОД—НАПРЯЖЕНИЕ С СУММИРОВАНИЕМ ВЗВЕШЕННЫХ ТОКОВ НА АТТЕНЮАТОРЕ ЛЕСТНИЧНОГО ТИПА

Предложена обобщенная структура преобразователей код—напряжение (ПКН) с суммированием взвешенных токов на аттенюаторе лестничного типа, позволяющая минимизировать число прецизионных резисторов. Приводятся результаты экспериментального исследования 15—16-разрядных ПКН, пригодных для микроэлектронного исполнения.

**Ключевые слова:** преобразователь код—напряжение, суммирование взвешенных токов, аттенюатор лестничного типа.

Для преобразования 15-разрядного кода в выходное напряжение до двух вольт величина кванта преобразователя код—напряжение (ПКН) должна быть равна 61,03 мкВ и необходимо обеспечить формирование весовых коэффициентов (напряжений разрядов) с абсолютной погрешностью на уровне  $\pm 5\text{мкВ}$ . Это достаточно сложная задача, которая требует грамотных технических решений и тщательной настройки отдельных разрядов. В частности, к резисторам аттенюатора предъявляются два основных требования: минимально возможный ТКС (1—5 ppm) и приемлемая долговременная стабильность (не хуже 10 ppm в год). Так как стоимость подгонки прецизионных резисторов достаточно высока, то желательно минимизировать число таких резисторов в ПКН. Кроме того, следует учесть возможность гибридного или микроэлектронного исполнения ПКН, что ограничивает величину резисторов (0,5—50 кОм) и общую рассеиваемую мощность (500 мВт). Наиболее полно этим требованиям удовлетворяют ПКН с суммированием токов на аттенюаторах лестничного типа, распространенные в гибридном исполнении. Рассмотрим возможность сокращения количества прецизионных резисторов в таких ПКН.

На рис. 1 представлена известная структура 16-разрядного ЦАП ( $S_1$  — ключ,  $l=\overline{0, M}$ ) с суммированием одинаковых токов на аттенюаторе  $R=2R$  ( $R_1=R$ ,  $R_c=R$ ,  $R_2=2R$ ). Можно показать, что коэффициент деления каждой ячейки аттенюатора  $K = 2$  и сопротивление нагрузки каждого генератора тока составит  $2/3R$ . Тогда выходное напряжение такого ПКН составит

$$U_{\text{вых}} = \frac{2}{3} RI \left( a_{15} 1 + a_{14} \frac{1}{2} + a_{13} \frac{1}{4} + \dots + a_0 \frac{1}{2^{n-1}} \right).$$

Максимальное выходное напряжение составит:  $U_{\max} = \frac{2}{3} RI \left[ 2 - \frac{1}{2^{n-1}} \right] \approx \frac{4}{3} RI$ .

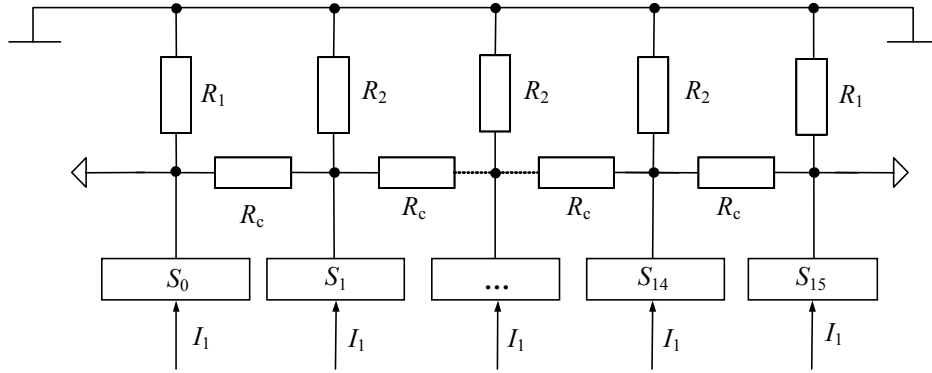


Рис. 1

На рис. 2 представлена структурная схема 16-разрядного ЦАП с суммированием двух взвешенных токов  $I_1$  и  $I_2$  в каждой узловой точке ( $b_k, k=1, L$ ). Каждая ячейка аттенюатора должна обеспечивать значение  $K=2^2=4$ , что возможно при  $R_1=R$ , сопротивлениях связи  $R_c=3R$  и эквивалентных сопротивлениях в каждой узловой точке  $R_{\text{экв}}=R$ .

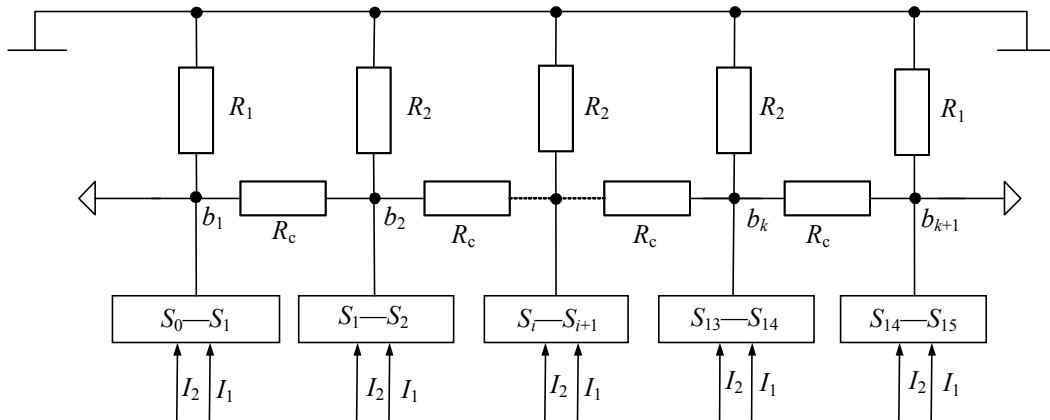


Рис. 2

Из представленной эквивалентной схемы одной ячейки делителя (рис. 3) можно определить требуемое значение  $R_2$ :

$$R_{\text{экв}} = \frac{R_2 4R}{R_2 + 4R},$$

отсюда  $R_2 = 4/3 R$ . Значения эквивалентного сопротивления нагрузки  $R_h$  для каждой пары генераторов тока  $I_1$  и  $I_2$  определяются из эквивалентной схемы, представленной на рис. 4.

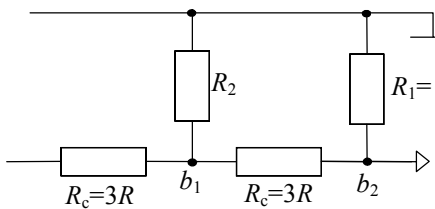


Рис. 3

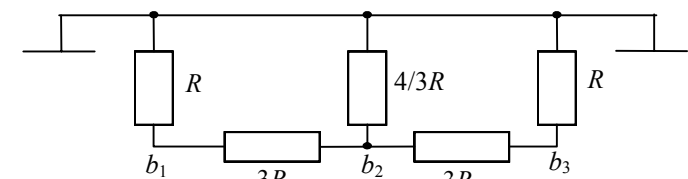


Рис. 4

Так как  $R_h = 4/3 R \parallel 4R \parallel 4R$ ,  $R_h = 4/5 R$ .

Примем  $I_1=I$ ,  $I_2=0,5I$ , тогда выходное напряжение ПКН определится следующим образом:

$$U_{\text{вых}} = R_h I \left[ \left( a_{15} + a_{14} \frac{1}{2} \right) + \frac{1}{4} \left( a_{13} + a_{12} \frac{1}{2} \right) + \frac{1}{16} \left( a_{11} + a_{10} \frac{1}{2} \right) + \dots + \frac{1}{16384} \left( a_1 + a_0 \frac{1}{2} \right) \right].$$

Максимальное выходное напряжение будет равно:

$$U_{\max} = \frac{4}{5} RI \left( 1 + \frac{1}{2} + \frac{1}{4} + \frac{1}{8} + \dots + \frac{1}{2^n} \right) \approx \frac{8}{5} RI.$$

На рис. 5 представлена структурная схема 15-разрядного ЦАП с суммированием трех значений взвешенного тока  $I_1, I_2, I_3$  в каждой узловой точке. Каждая ячейка аттенюатора должна обеспечивать  $K=2^3=8$ , что возможно при  $R_1=R, R_c=7R$  и эквивалентных сопротивлениях в каждой узловой точке  $R_{\text{экв}}=R$ .

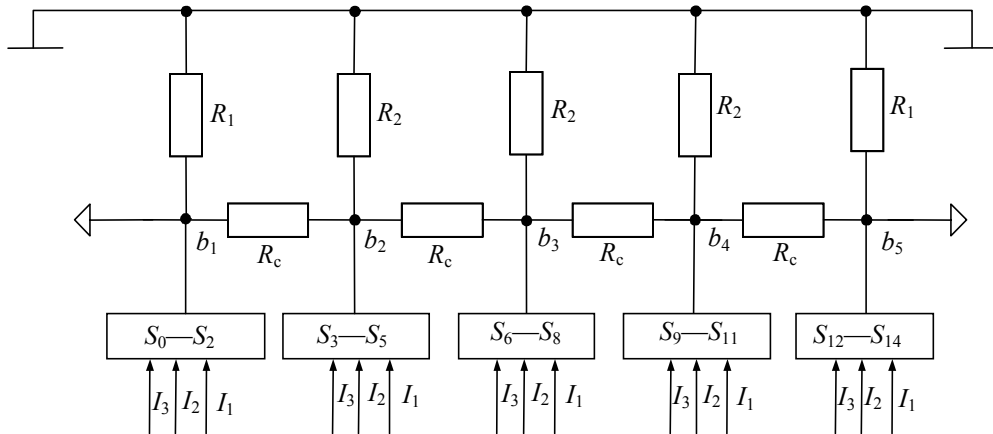


Рис. 5

Из представленной эквивалентной схемы одной ячейки делителя (рис. 6) можно определить требуемое значение  $R_2$ :

$$R_{\text{экв}} = \frac{R_2 8R}{R_2 + 8R},$$

отсюда  $R_2 = 8/7 R$ . Эквивалентное сопротивление нагрузки для каждой тройки взвешенных токов  $I_1, I_2, I_3$  определяется из эквивалентной схемы, приведенной на рис. 7.

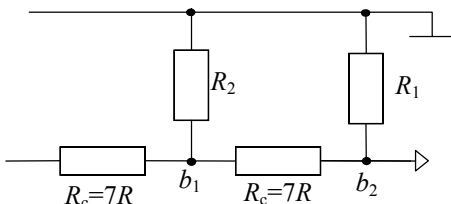


Рис. 6

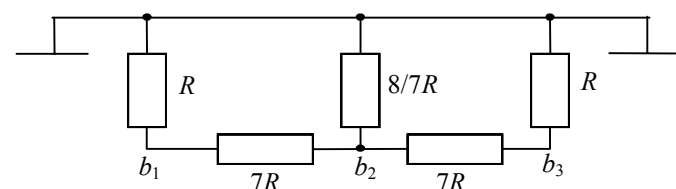


Рис. 7

Если  $R_h = 8/7 R$ ,  $R_h = \frac{8}{7} R \| 8R \| 8R$ . Выходное напряжение такого ПКН определится следующим образом:

$$U_{\text{вых}} = \frac{8}{9} RI \left[ \left( a_{14} + a_{13} \frac{1}{2} + a_{12} \frac{1}{4} \right) + \frac{1}{8} \left( a_{11} + a_{10} \frac{1}{2} + a_9 \frac{1}{4} \right) + \dots + \frac{1}{2} \left( a_2 + a_1 \frac{1}{2} + \frac{1}{4} a_0 \right) \right].$$

Максимальное выходное напряжение будет равно:  $U_{\max} \approx \frac{16}{9} RI$ .

Действуя в соответствии с предложенным алгоритмом, можно легко определить требуемые значения резисторов аттенюатора  $R_1, R_2, R_c$  для произвольного числа генераторов тока, подключаемых к каждой узловой точке.

Введем следующие обозначения:  $n$  — число разрядов преобразуемого двоичного кода;  $M$  — число взвешенных токов, суммируемых в каждом узле;  $L$  — число узловых точек.

Если принять  $R_1=R$ , то в общем случае получим следующее:

— разрядность ПКН определяется произведением

$$n = ML, \quad (1)$$

— сопротивление связи  $R_c$  между ячейками аттенюатора

$$R_c = (2^M - 1)R, \quad (2)$$

— внутренние резисторы аттенюатора  $R_2$

$$R_2 = \frac{2^M}{(2^M - 1)R}. \quad (3)$$

Эквивалентное сопротивление нагрузки  $R_h$  для каждого узла аттенюатора будет следующим:

$$R_h = \frac{2^M}{(2^M - 1)R}. \quad (4)$$

Максимальное выходное напряжение такого ПКН будет равно:

$$U_{\max} = \frac{2^M}{2^M + 1} RI \sum_{k=1}^L \frac{1}{2^{(k-1)M}} \left( \sum_{i=1}^M \frac{1}{2^{(i-1)}} a_{LM-(k-1)M-i+1} \right). \quad (5)$$

Для управления переключением разрядных токов в таком ПКН необходимо знать максимальное изменение потенциалов в узловых точках аттенюатора. Для ПКН с суммированием равных токов на аттенюаторе типа „ $R-2R$ “ это превышение над выходным напряжением известно и составляет  $1,5U_{\max}$ . Очевидно, что для ПКН с суммированием взвешенных токов на образцовом сопротивлении это превышение будет нулевым.

В таблице представлены расчетные значения резисторов аттенюатора для различного числа двоично-взвешенных токов  $M$  и количества узловых точек  $L$ . Очевидно, что при  $M=1$  и  $L=16$  схема будет представлять собой ПКН с суммированием равных токов на аттенюаторе „ $R-2R$ “. Основной недостаток этого ПКН — большое количество прецизионных резисторов (49). Другой крайний случай —  $M=16$ ,  $L=1$  — представляет собой ПКН с суммированием взвешенных токов на входе операционного усилителя. Основной недостаток этого варианта ПКН: большой динамический диапазон взвешенных токов (и резисторов), который трудно реализовать в микроэлектронном исполнении. Промежуточные варианты дают определенные преимущества, в частности, по количеству прецизионных резисторов и точности суммирования разрядных токов.

Параметр	Значение					
$n$	16	16	15	16	15	16
$M$	1	2	3	4	5	16
$L$	16	8	5	4	3	1
$K=2^M$	2	4	8	16	32	$2^{16}$
$R_c$	$R$	$3R$	$7R$	$15R$	$31R$	$\infty$
$R_2$	$2R$	$4/3R$	$8/7R$	$16/15R$	$32/31R$	$R$
$R_h$	$2/3R$	$4/5R$	$8/9R$	$16/17R$	$32/33R$	$R$
$R_{\text{атт}}$	33	17	9	7	5	0
$R$	49	33	24	23	20	16

Для проверки основных положений рассмотренные структуры были исследованы экспериментально для вариантов с 4 и 5 узловыми точками. Проверялись следующие

характеристики: соответствие эквивалентных сопротивлений нагрузки в узловых точках теоретическим значениям; значения коэффициента деления каждой ячейки аттенюатора; пропорциональность выходных напряжений весовым коэффициентам двоичного ряда.

После подбора резисторов аттенюатора проверялись эквивалентные сопротивления нагрузки в каждой узловой точке — они соответствовали теоретическим с относительной погрешностью  $\pm 0,5\%$ . В режиме делителя напряжений при одновременном подключении всех генераторов тока к одной из узловых точек проверялось значение коэффициента деления между ячейками. И, наконец, поочередное подключение взвешенных генераторов тока к каждой из узловых точек позволяет проверить возможность формирования требуемых весовых коэффициентов.

Обе проверенные структуры показали возможность формирования требуемых весовых коэффициентов двоичного ряда при регулировке расчетных взвешенных токов в пределах  $\pm 0,5\%$ . Кроме того, проверялся результат суммирования весовых коэффициентов в разных узловых точках. Относительная погрешность суммирования из-за влияния внутренних сопротивлений генераторов тока, выполненных по каскодной схеме, не превышала  $0,01\%$ .

Для проведения прецизионных измерений использовался вольтметр универсальный В1-78. Резисторы аттенюатора выбирались из рядов Е-96 и Е-192 типов С1-29, С1-31 класса 0,1, номиналы подбирались с точностью  $\pm 0,5\text{ Ом}$ .

Разработанная структура ПКН с суммированием взвешенных токов в узловых точках аттенюатора обеспечивает формирование требуемых выходных напряжений для двоичного кода.

Метод суммирования взвешенных токов позволяет в 1,5—2 раза уменьшить количество прецизионных резисторов и обеспечивает возможность микроэлектронного исполнения ПКН высокой точности (погрешность  $0,01\%$ ).

Следует отметить, что современные технологии напыления прецизионных резисторов обеспечивают погрешность отношений резисторов аттенюатора на уровне  $0,1\%$ , т.е. резисторы аттенюатора не нужно подгонять. Подстраивать необходимо только токозадающие резисторы генераторов тока (16 штук).

#### СПИСОК ЛИТЕРАТУРЫ

1. Galalu V. G. Digital analog converter for Fibonacci code // Мат. междунар. конф. „Оптимальные методы решения научных и практических задач“. Таганрог, 2005. Ч. 3. С. 16—20.
2. Ратхор Т. С. Цифровые измерения. АЦП / ЦАП. М.: Техносфера, 2006. 392 с.

**Валентин Гаврилович Галалу**

*Сведения об авторе*

— канд. техн. наук, доцент; Технологический институт Южного федерального университета, кафедра автоматизированных систем научных исследований и экспериментов, Таганрог

Рекомендована кафедрой  
автоматизированных систем  
научных исследований и экспериментов

Поступила в редакцию  
05.08.08 г.